

京都大学工学部 正員 工博 小西一郎
 京都大学工学部 正員 工博 白石成人
 京都大学大学院 学生員 工修 神部俊一

1. まえがき — 軸線形状がう線である曲線げたにたいして、けた断面の広がりを考慮に入れた、ひずみの式を求め、この式から近似的に曲げねじれ理論が適用できることを示し、ついで行列による解法について述べる。

2. 基礎方程式 — けた断面の図心を結ぶ軸線を考え、この軸線の単位接線ベクトルを \underline{i} 、単位主法線ベクトルを \underline{n} 、単位陪法線ベクトルを \underline{s} とし、これらの方に向に座標軸を一致させ直交座標系(右手系) $O-X Y Z$ を構成する。以下において切断面(YZ 平面)上の量には (\sim) を、変形後の量には $(*)$ をつけて表わすことにする。軸線の位置ベクトルを

$$\underline{r} = (a \cos \theta) \underline{i} + (a \sin \theta) \underline{j} + (b \theta) \underline{k} \quad (1)$$

軸線のねじれ回転角を ψ 、変位を

$$\underline{v} = u \underline{i} + v \underline{n} + w \underline{s} \quad (2)$$

とすると、軸線の微小回転ベクトル $\underline{\Omega}$ 、微小回転率ベクトル $\underline{\Psi}$ は (1) 式より、それぞれ

$$\underline{\Omega} = \psi \underline{i} + \frac{dr}{ds} \times \frac{dr^*}{ds}, \quad \underline{\Psi} = \frac{d\Omega}{ds} = \psi_x \underline{i} + \psi_y \underline{n} + \psi_z \underline{s} \quad (3)$$

切断面の位置ベクトルを、 $\widetilde{\underline{r}} = \underline{r} + \underline{IP}$ ($\underline{IP} = y \underline{n} + z \underline{s}$) とすると、けたの母線の単位接線ベクトル $\widetilde{\underline{i}}$ は $\widetilde{\underline{i}} = (\frac{\partial \underline{r}}{\partial s}, \frac{\partial \underline{IP}}{\partial s})^{-\frac{1}{2}} \frac{\partial \underline{r}}{\partial s}$ で与えられる。よって切断面の変位 $\widetilde{\underline{v}}$ は、そり変位を $\widetilde{\underline{v}}$ とすると $\widetilde{\underline{v}} = (\underline{v} + \underline{\Omega} \times \underline{IP}) + \widetilde{\underline{u}} \widetilde{\underline{i}}$ となるから、 $\widetilde{\underline{r}}^* = \widetilde{\underline{r}} + \widetilde{\underline{v}}$ を用いて、ひずみ成分は

$$d\widetilde{\underline{r}}^* \cdot d\widetilde{\underline{r}}^* - d\widetilde{\underline{r}} \cdot d\widetilde{\underline{r}} = 2 d\widetilde{\underline{r}} \cdot \underline{Y} \cdot d\widetilde{\underline{r}} \quad (4)$$

より求まる。切断面上の \underline{i} -方向の線要素 $d\widetilde{s}_i$ 、と ds との間の関係式

$$d\widetilde{s}_i = \{(1 - k_i y)^2 + \gamma^2(y^2 + z^2)\}^{\frac{1}{2}} ds \approx (1 - k_i y) ds \quad \text{を考慮すると、ひずみ成分}$$

γ_{ij} ($i, j = x, y, z$) は次式で与えられる。ここに、 k_i, γ はそれぞれ軸線の主曲率、および主ねじり率である。式(4)に式(2), (3)に示される変位成分を代入すれば、ひずみ成分はつきのようになる。

$$\gamma_{xx} \approx (1 - k_i y)^{-1} \varepsilon + \gamma(y^2 + z^2)(1 - k_i y)^{-2} \psi_x + (1 - k_i y)^{-1} z \psi_y - (1 - k_i y)^{-1} y \psi_z + (1 - k_i y)^{-1} \frac{\partial \widetilde{u}}{\partial s}$$

$$\gamma_{xy} \approx \frac{1}{2} \left\{ -(1 - k_i y)^{-1} z \psi_x - \gamma z (1 - k_i y)^{-2} \frac{\partial \widetilde{u}}{\partial s} + (1 - k_i y)^{\frac{1}{2}} (1 - k_i y)^{-1} \widetilde{u} \right\}$$

$$\gamma_{xz} \approx \frac{1}{2} \left\{ (1 - k_i y)^{-1} y \psi_x + \gamma y (1 - k_i y)^{-2} \frac{\partial \widetilde{u}}{\partial s} + (1 - k_i y)^{\frac{1}{2}} (1 - k_i y)^{-1} \widetilde{u} \right\}$$

$$\begin{aligned} \gamma_{yz} &\approx \frac{1}{2} \left\{ \tau_y \frac{\partial}{\partial y} (1 - \kappa y)^{-1} \bar{u} - \tau_z \frac{\partial}{\partial z} (1 - \kappa y)^{-1} \bar{u} \right\} \\ \gamma_{yy} &\approx -\tau_z \frac{\partial}{\partial y} (1 - \kappa y)^{-1} \bar{u} \quad \gamma_{zz} \approx \tau_y \frac{\partial}{\partial z} (1 - \kappa y)^{-1} \bar{u} \end{aligned} \quad (5)$$

ここに、 κ は軸線の軸方向のひずみであり、 $\kappa = \frac{du}{ds} - \kappa u$ で与えられる。今、例として $a = 1.8\pi b$ とすると軸線の傾斜角中は、 $\phi = 10^\circ$ 、 $(1 - \kappa y)^{-1}_{min} = 0.91$ で $\gamma_{max} = 0.018$ となる。よって変位とひずみとの関係式で、ついた項を省略することができ、この場合ひずみ成分は近似的に各断面で円筒軸が傾いた円筒座標による表示式になっている。したがって曲げねじり理論を近似的に適用することは可能である。つぎに断面に作用する

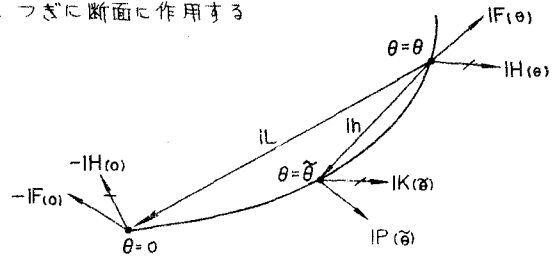
力 F およびトルク H を次式で定義する。

$$\begin{aligned} F &= N \xi + Q_y \eta + Q_z \zeta = \{F\} \{ \xi \ \eta \ \zeta \}^t \\ H &= T \xi + M_y \eta + M_z \zeta = \{H\} \{ \xi \ \eta \ \zeta \}^t \end{aligned}$$

ここに

$$N = E \int_F \gamma_{xx} dF \quad Q_y = 2G \int_F \gamma_{xy} dF \quad Q_z = 2G \int_F \gamma_{xz} dF$$

$$T = 2G \int_F (\bar{x} \gamma_{xy} - \bar{y} \gamma_{xz}) dF \quad M_y = E \int_F \gamma_{xx} \bar{z} dF \quad M_z = -E \int_F \gamma_{xz} \bar{y} dF$$



断面 $\theta = \tilde{\theta}$ に作用する外力を P 、外力トルクを K とすると、平衡条件式は

$$F(\theta) + P(\tilde{\theta}) - F(0) = 0 \quad H(\theta) - H(0) + K(\tilde{\theta}) + l_L \times (-F(0)) + h \times P(\tilde{\theta}) = 0$$

ここで $F(\theta) = R_o^2 E \bar{F}(\theta)$ 、 $H(\theta) = R_o^3 E \bar{H}(\theta)$ 、 $P(\tilde{\theta}) = R_o^2 E \bar{P}(\tilde{\theta})$ 、 $K(\tilde{\theta}) = R_o^3 E \bar{K}(\tilde{\theta})$ 、 $R_o^2 = a^2 + b^2$ のような無次元化した $\bar{F}(\theta)$ 、 $\bar{H}(\theta)$ 、 $\bar{P}(\tilde{\theta})$ 、 $\bar{K}(\tilde{\theta})$ を用いれば、

$$\begin{aligned} \{\bar{F}(0)\}^t &= [A(0)] \{\bar{F}(0)\}^t - [A(\theta - \tilde{\theta})] \{\bar{P}(\tilde{\theta})\}^t U(\theta - \tilde{\theta}) \\ \{\bar{H}(0)\}^t &= [A(0)] \{\bar{H}(0)\}^t - [A(\theta - \tilde{\theta})] \{\bar{K}(\tilde{\theta})\}^t U(\theta - \tilde{\theta}) \\ &\quad + [B(0)] \{\bar{F}(0)\}^t - [B(\theta - \tilde{\theta})] \{\bar{P}(\tilde{\theta})\}^t U(\theta - \tilde{\theta}) \end{aligned}$$

となる。ここに、 $[A]$ 、 $[B]$ は軸線の形状に関する行列であり、 $U(\theta)$ は単位ステップ関数である。 T^* をせん断中心 (\bar{y}_s, \bar{z}_s) に関するトルクとすると、 $D = \frac{d}{d\theta}$ 、 $\mu^2 = R_o^2 G J_r (E C_w)^{-1}$ 、 $\lambda = R_o^6 (C_w)^{-1}$ 、 $\bar{y}_s = y_s R_o^{-1}$ 、 $\bar{z}_s = z_s R_o^{-1}$ 、 $\bar{\psi} = R_o \bar{\psi}_x$ のような無次元化した量を用いれば、

$$\lambda \bar{T}^* = (D^2 - \mu^2) \bar{\psi} = \lambda (\bar{T} - \bar{y} \bar{Q}_z^* + \bar{z} \bar{Q}_y^*) \quad \text{が成立する。さらに曲げねじりモーメント } \bar{M}_w = R_o^{-2} E C_w \bar{M}_w \text{ とすると } \bar{M}_w = D \bar{\psi} \text{ が成立する。}$$

以上の近似解法では、stress-strain 関係において γ_y を $(1 - \kappa y)^{-1}$ に対して無視するが、釣合式で $\frac{\kappa}{\pi} (\approx 0.2)$ が考慮されている。

- 参考文献
- (1) 小西一郎、小松定夫；薄肉曲線材の基礎理論 土木学会論文集 第87号
 - (2) 深沢泰晴；薄肉曲線材の静力学的解析に関する基礎的理論 土木学会論文集 第110号
 - (3) R. Dabrowski ; Zur Berechnung von gekrümmten Trägern mit offenem Profil Der Stahlbau 1964